

ساخت نانو بلورهای مکعبی نقره به روش نانوفیتوسنتز و کاربرد آن‌ها در تقویت اثر آنتی بیوتیکی تتراسایکلین

علی‌رضا شریفی

گروه شیمی، واحد اردبیل، دانشگاه آزاد اسلامی، اردبیل، ایران

علی شفقت*

گروه شیمی، واحد خلخال، دانشگاه آزاد اسلامی، خلخال، ایران

چکیده: در این مطالعه، نانوبلورک‌های مکعبی ذره‌های نقره با روش نانوفیتوسنتز و بهره‌گیری از متابولیت‌های ثانویه موجود در عصاره متابولی برگ‌های زالزالک سیاه سنتز شدند. ساختار، خواص و ویژگی‌های نوری نانو ذره‌های تولید شده به وسیله میکروسکوپ الکترونی عبوری (TEM)، میکروسکوپ الکترونی روشنی (SEM)، پراش پرتو ایکس (XRD)، طیف سنجی زیر قرمز (FT-IR) و فرابنفش/مرئی (UV/Vis) بررسی و مشخصه یابی شدند. اثر ضد باکتریایی نانومکعب‌های نقره به دست آمد، به صورت جداگانه و مخلوط با تتراسایکلین در برابر چهار باکتری گرم مثبت و منفی به روش انتشار دیسک مورد ارزیابی قرار گرفت. نتیجه‌ها نشان می‌دهد که بیش از ۱۰ درصد نانوبلورک‌ها دارای اندازه حدود ۱۵–۳۵ نانومتر و ساختار مکعبی دارند. بررسی زیستی نشان داد که این نانوذره‌های نقره ساخته شده با روش نانوفیتوسنتز، تأثیر خوبی در برابر رشد باکتری‌ها دارند و موجب تقویت اثر ضد باکتریایی آنتی بیوتیک تتراسایکلین می‌شود. افزایش قدرت بازداری رشد باکتری‌ها توسط این نانوبلورها، با ساختار مکعبی آن‌ها ارتباط دارد. همچنین روش نانوفیتوسنتز برای ساخت نانوذره‌ها، یک روش به صرفه، سریع، دوست‌دار طبیعت و سنتز سبز بوده و شرایط بهینه برای تولید نانوذره‌ها فراهم می‌سازد.

واژه‌های کلیدی: نانوفیتوسنتز؛ ضد باکتری؛ نانو نقره؛ زالزالک سیاه؛ تتراسایکلین.

KEYWORDS: Nanophytosynthesis; Antibacterial; Nano silver; Black hawthorn; Tetracycline.

مقدمه

روش‌های تولید و سرعت استفاده از نانومواد در شکل‌های گوناگون، بسیار سریع گسترش پیداکرده و در همه جنبه‌های زندگی مانند سامانه‌های الکتریکی، بهداشت و مبارزه با میکروب‌ها، تشخیص و درمان بیماری‌ها، ساخت وسایل، نساجی، حسگرهای زیستی، کاتالیست‌ها، تصفیه پساب‌ها و... مورد استفاده قرار گرفته است [۱-۴]. یکی از کاربردهای مهم نانوذره‌ها از جمله نانو نقره در امور پزشکی

در سال‌های اخیر موضوع نانو فناوری و کاربرد فراورده‌های نانوذره در حوزه‌های گوناگون صنایع، گسترش چشم‌گیری یافته است [۱]. گزارش‌های علمی نشان می‌دهد که ویژگی‌ها و فعالیت‌های نانوذره‌ها به اندازه، شکل هندسی و نوع آن‌ها بستگی دارد. هر چه اندازه نانوذره‌های کوچک‌تر باشد، ویژگی‌ها و فعالیت‌های گوناگون و شگفت‌انگیز از خود نشان می‌دهند. به همین دلیل امروزه

+E-mail: Shafaghata@yahoo.com

*عهده دار مکاتبات

با توجه به این موضوع و مطالعه‌ها انجام گرفته، نانومواد می‌توانند به عنوان مواد مناسب با حساسیت بالا برای مهارکردن و از بین بردن باکتری‌ها و ویروس‌ها مورد استفاده قرار گیرند [۱۸، ۱۹]. یک ساز و کار برای توضیح فعالیت زیستی نانوذره‌ها و بهویژه نانوذره‌های فلزی به این صورت است که آن‌ها بهدلیل داشتن بارهای سطحی و نسبت سطح به حجم خود، قادرند با آنزیم‌ها، پروتئین‌ها و DNA میکرو ارگانیسم‌ها، یک نوع تعادل الکترونی میان گروه‌ها یا عامل‌های الکترون دهنده مانند گروه‌های کربوکسیلات، تیول، الكل، آمین، آمید، ایمیدازول و اندول برقرار نموده و موجب غیر فعال شدن میکرو ارگانیسم‌ها می‌شوند [۲۰، ۲۱]. در این پژوهش، با در نظر گرفتن موارد فوق و موضوع مقاوم شدن باکتری‌ها در برابر آنتی بیوتیک‌ها، تهیه نانوذره‌های نقره با روش نانوفیتوستز به منظور استفاده از آنها به همراه آنتی بیوتیک‌های معمولی و افزایش فعالیت و تقویت فعالیت آن‌ها انجام گرفت. در آینده می‌توان با استفاده از نانوذره‌ها ساخته شده با این روش و اثر هم افزایی آن، در صنایع داروسازی، آرایشی بهداشتی، ندى، حمل و نقل و نگهداری مواد غذایی در زمینه مبارزه با باکتری‌های بیماری‌زا بهره برد.

بخش تجربی مواد، دستگاه‌ها و روش‌ها

در این پژوهش، مواد اولیه شامل نقره نیترات AgNO_3 و متابولو با درجه خلوص بالا از شرکت مرک آلمان، آب دیونیزه از شرکت مجللی و عصاره گیاهی تهیه شده از برگ‌های درخت زالزالک سیاه^(۱)، مورد استفاده قرار گرفت.

تهیه عصاره از گیاه

برگ‌های سبز درخت زالزالک سیاه با نام علمی *Crataegus melanocarpa*، از منطقه فندقلو شهرستان نمین واقع در استان اردبیل جمع آوری و پس از شستشو با آب سرد، در آون در دمای ۵۰ درجه سلسیوس به مدت ۲۴ ساعت خشک شد. آنگاه برگ‌های خشک شده توسط آسیاب برقی به پودر تبدیل و در دمای ۲۰ درجه سلسیوس تا مرحله بعدی آزمایش نگهداری شد. برای عصاره گیری از روش ماسراسیون (خیساندن) استفاده شد. ۱۰۰ گرم از پودر آماده شده را به همراه یک لیتر متابولو در یک اrlen مایر ریخته و در حمام آبی ۳۰ درجه سلسیوس به مدت ۴۸ ساعت قرار داده شد.

(۱) *Crataegus melanocarpa*

و مبارزه با میکروب‌های دارویی گذشته از فلزها و ترکیب‌های آن‌ها در فراورده‌های دارویی استفاده شده است.

امروزه از نانوذره‌های فلزی و ترکیب‌های آن‌ها در حشره کش‌ها، باکتری کش‌ها، مواد آرایشی - بهداشتی و داروهای گوناگون استفاده می‌شود [۵]. تولید و کاربرد برخی از نانومواد نوین در صنایع داروسازی به عنوان یک روش به طور کامل نوین تلقی می‌شوند. این نانوذره‌ها به علت برخورداری از توانش بالا برای انجام فرایندهای دارویی و درمانی ویژه، در بررسی‌های پژوهشکی، زیستی و داروسازی دارای اهمیت و کاربرد فراوانی هستند. به عنوان نمونه، برخی از آن‌ها توانایی نابودی ۶۵۰ سلول سرطانی را در مدت کمتر از ۴ ساعت دارند [۱۰-۱۶].

روش نانوفیتوستز برای ساخت نانوذره‌ها با استفاده از فرایند کاکتیزیستی و استفاده از مواد فعال زیستی گیاهی انجام می‌گیرد. برخلاف روش‌های شیمیایی و فیزیکی، در اینجا نیازی به استفاده از دما و فشار بالا، انرژی زیاد، زمان طولانی، هزینه‌های هنگفت و مواد یا حلال‌های سمی نمی‌باشد [۱۱]. یکی از فاکتورهای مهم در تعیین فعالیت ضد باکتری نانوذره‌های نقره، اندازه آن می‌باشد. نانوذره‌های نقره با استفاده از عصاره آلوئه ورا با ریخت شناسی کروی در اندازه‌های ۱۵/۵ نانومتر ساخته شده است. در روش بالا، افزودن آمونیاک به واکنش سبب سدگی کاکتیزیت یون‌های نقره (Ag^+) در اثر تشکیل کمپلکس محلول می‌شود [۱۲].

بررسی‌ها نشان می‌دهند که نانوذره‌های نقره با دیواره سلولی و اعضای سیتوپلاسمی باکتری اشربیسیا کولاوی وارد واکنش شده و با ایجاد شکاف و از طریق دریدن دیواره سلولی به درون باکتری نفوذ کرده و موجب نابودی آن‌ها می‌شود [۱۳]. نانوکمپوزیت نقره و تیتانیا سنتز شده با روش نانوفیتوستز قادر است به آسانی با تخریب دیواره سلولی ای - کولاوی، آن‌ها را از بین ببرد [۱۴].

به طور کلی ویژگی‌های ضد باکتری و ضد ویروسی یون‌ها، ترکیب‌ها و نانوذره‌های نقره قبل از مورد بررسی قرار گرفته اند و مشخص شده که اندازه و شکل هندسی نانوذره‌ها در قدرت تخریب آن‌ها دخالت دارند [۱۵-۱۷]. باکتری‌های بیماری‌زا و خطناک مانند استافیلوکوکوس اورئوس و اشربیسیا کولاوی از عامل‌های مهم در عفونت‌های است که بیماری‌هایی مانند عفونت‌های پوستی، دمل، کورک، زرد زخم، آندوکاردیت، منثربیت و آبسه‌های مغزی را به وجود می‌آورند. از مشکل‌های جدی مبارزه با این باکتری‌ها، بحث مقاوم شدن آن‌ها در برابر آنتی بیوتیک‌هاست.

مخلوط واکنش مشاهده شد. سیگنال رزونانس پلاسمون سطحی (SPR) در طول موج ۴۷۰-۴۲۰ نانومتر مشاهده شد که نشانگر طیف نانونقره و تشکیل آن است.

تصویرهای میکروسکوپی TEM و SEM

تصویرهای میکروسکوپی فوق به منظور تعیین شکل و اندازه نانو ذرهای نقره ساخته شده و چگونگی توزیع آن‌ها تهیه و مورد بررسی قرار گرفت. برای این منظور قطره‌های بسیار کوچک از نمونه دارای نانونقره بر روی کربن پوشیده شده از درجه مسی در شبکه دستگاه به صورت فیلم باریکی قرار داده می‌شود. محلول اضافی با استفاده از کاغذ نمگیر برداشته شد و سپس فیلم تشکیل شده در شبکه با استفاده از لامپ جیوه به مدت ۵ دقیقه خشکانده می‌شود.

طیف پراش پرتو X (XRD)

با استفاده از طیف سنجی پراش پرتو ایکس ساختار بلوری نانوذرهای نقره به دست آمده در این پژوهش مورد بررسی قرار گرفت و اندازه این نانوذرهای نیز محاسبه شد. نمونه‌های مورد آزمایش با استفاده از سانتریفیوژ چندباره به دست آمده و به صورت پودر درآمد و با استفاده از دستگاه در ولتاژ ۴۰ کیلوولت مورد بررسی قرار گرفت و شدت پراش با زاویه ۲۰ و در بازه‌ی ۹۰ - ۱۰ درجه انجام پذیرفت.

طیف سنجی FT-IR

برای شناسایی بیومولکول‌های احتمالی که عهده دار کاهش یون‌های نقره به نانو نقره هستند، از طیف سنجی فروسرخ استفاده شد. این فناوری کمک می‌کند که بتوانیم عامل‌های شیمیایی موجود در عصاره به کار رفته در عملیات نانوفیتوستز مورد تجزیه و تحلیل بیشتر قرار گیرد.

پرسی فعالیت ضد باکتری

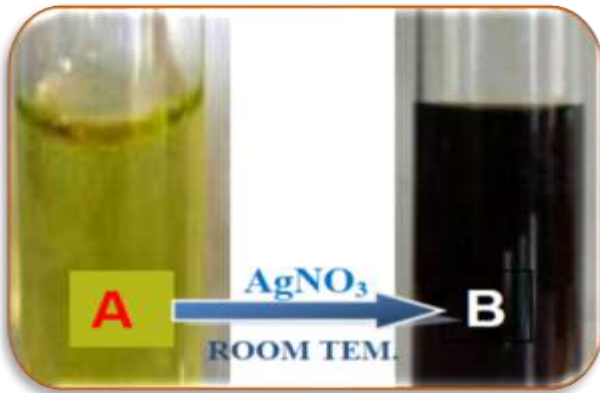
ارزیابی ویژگی‌های ضد باکتریایی نانوذرهای نقره تهیه شده در این پژوهش، با روش تعیین هاله نبود رشد باکتری‌ها در برابر نانونقره و مخلوط آن با آنتی بیوتیک تتراسایکلین در کنار تتراسایکلین خالص به عنوان مرجع استاندارد مورد بررسی قرار گرفت. سویه‌های استاندارد به کار رفته، عبارتند از: باکتری‌های پاسیلوس سابتیلیس (ATCC 9372)، استافیلکوکوس پیدرمیلیس

بخش تجربی ستز و پرسی نانوذرهای نقره

برای این منظور، ۵ گرم از عصاره خام آماده شده را در ۱۰۰ میلی لیتر آب یون‌زدایی شده حل نموده و مخلوط را روی یک همزن مغناطیسی قرار می‌دهیم تا به مدت یک ساعت به هم زده شود. هم‌زمان با آن ۱۰۰ میلی لیتر از محلول نقره نیترات نیم مولار تازه آماده شد. محلول آبی عصاره را فیلتر کرده و هردو محلول باهم مخلوط و بر روی یک همزن مغناطیسی قرار داده شد تا به مدت ۷۲ ساعت در دمای اتاق بهم زده شود. پس از گذشت حدود ۵ دقیقه از فرایند بهم زدن، رفته تغییر رنگ دیده می‌شود. این تغییر رنگ نشان دهنده کاهش یون‌های Ag^+ به Ag^0 و تبدیل به نانوذرهای نقره می‌باشد. پس از گذشت مدت زمان لازم، مخلوط دارای نانوذرهای نقره با دستگاه سانتریفیوژ با ۳۰۰۰ دور در دقیقه و به مدت نیم ساعت، خالص سازی شد. فراورده جمع آوری شده به‌وسیله اتانول و سپس استون شستشو داده شد و پس از خشک کردن در یک شیشه ساعت، برای آزمایش‌های بعدی مهیا شد. طیف نور مرئی / فرابنفش از مخلوط واکنش در طول موج ۷۰۰-۳۰۰ نانومتر با استفاده از دستگاه طیف سنج نوری پرکین الم - لمبدا ۲۵ تهیه شد. از پودر نانونقره به دست آمده در مرحله قبل، برای تهیه تصویر رهای میکروسکوپی و SEM و طیف XRD استفاده شد. برای دیدن نانوذرهای تشکیل شده، تصویرهای SEM همراه با آنالیز EDX با استفاده از سامانه Philips LEO1430VP تهیه شد. شکل، اندازه و ریخت شناسی نانوذرهای یاد شده با استفاده از دستگاه TEM با ویژگی‌های Philips GM-30 تعیین شد. برای دیدن ساختار بلوری نانوذرهای تهیه شده از دستگاه طیف سنجی XRD (دارای $\lambda=1.54\text{\AA}$) با ولتاژ ۴۰ کیلوولت، ویژگی‌های (BRUKER, B8ADVANCE) شدت جریان ۳۰ میلی آمپر و تشعشع $\text{Cu K}\alpha$ با $\lambda=1.54\text{\AA}$ استفاده شد. از محلول عصاره، قبل و بعد از فرایند نانوفیتوستز، طیف‌های IR با دستگاه طیف سنج زیرقرمز مدل Bruker Tensor27 تهیه شد.

طیف سنجی مرئی - فرابنفش

نخست طیف مرئی - فرابنفش در طول موج ۷۰۰-۳۰۰ نانومتر به دست آمد. از سل‌های جنس کوارتز برای نمونه‌ها و آب یون‌زدایی شده به عنوان رفرنس استفاده شد. کاهش یون‌های Ag^+ به نقره فلزی با استفاده از اندازه‌گیری طیف UV/Vis و تغییر رنگ



شکل ۱- تغییر رنگ محلول عصاره (A) قبل از واکنش و تولید نانوذرات نقره (B) پس از واکنش

بررسی طیف سنجی مرئی - فرابنفش

طیف مرئی - فرابنفش به دست آمده از نمونه، یک پیک جذبی قوی در حوالی ۴۲۰ نانومتر نشان می دهد که مربوط به تولید نانوذرهای نقره است (شکل ۲). باند گستردۀ پیک جذبی گویای پراکندگی زیاد و عدم تجمع نانوذرهای نقره می باشد [۲۵]. نانوذرهای نقره دارای پیک جذبی قوی و ثابت به واسطه رزونанс پلاسمون سطحی قوی در طول موج ۴۵۰ می باشد. این شاهدها به روشنی حکایت از کاهش یون های Ag^+ و تشکیل نانونقره را دارد.

FT-IR طیف سنجی

طیف سنجی زیر قرمز محلول عصاره گیاهی به صورت خالص (پیش از واکنش، شکل ۳-A) و محلول دارای نانوذرهای نقره تولید شده (پس از واکنش؛ شکل ۳-B) در گستره $500-4000 \text{ cm}^{-1}$ انجام شد. وجود ترکیب‌های فلاونوئیدی پیش‌تر در مطالعه‌های فیتوشیمیابی این گونه گیاهی، بررسی و به اثبات رسیده است [۲۶]. مهمترین باندهای فلاونوئیدی در IR وجود باند پهن در بازه‌ی $3450-3400 \text{ cm}^{-1}$ مربوط به گروه‌های OH فنولیک و نیز باند مشخص گروه کربونیل و باندهای کششی آروماتیکی می باشد که در شکل ۳-A این باندها قابل دیدن هستند. اما این باندها در شکل ۳-B دیده نمی شوند و یا دچار تغییرهای اساسی شده‌اند. نتیجه می‌شود که این عامل‌ها در واکنش با یون‌های Ag^+ مشارکت داشته و عامل کاهنده می باشند.

(ATCC 12228)، استافیلوکوکوس آئروس (ATCC 25923) و اشريشيا كولاي (ATCC 25922) می باشد. برای تعیین فعالیت ضد باکتری نمونه ها ای آزمایشی، دیسک‌های استریل به قطر ۶ میلی‌متر که با ۲۰ میکرولیتر از نمونه‌ها آغشته و اشباع شده بودند، استفاده شد.

این دیسک‌ها به همراه نمونه شاهد در پلیت‌هایی که در آن‌ها سویه‌های باکتری در محیط مولر- هیبتون آگار کشت شده بودند، قرار داده شدند. پلیت‌های آماده شده در گرم خانه دمای ثابت ۳۷ درجه سلسیوس به مدت ۲۴ ساعت قرار گرفتند پس از سپری شدن این مدت، قطر هاله عدم رشد اطراف هر دیسک، اندازه گیری و با نمونه شاهد (ترراسایکلین) مورد مقایسه قرار گرفت (جدول ۱).

نتیجه‌ها و بحث

در این کار پژوهشی، عصاره مтанولی برگ‌های درخت زالزالک سیاه با نام علمی *Crataegus melanocarpa* به عنوان عامل کاهنده یون‌های نقره Ag^+ و در یک فرایند اختصاصی به نام نانوفیتوستر برای ساختن نانونقره به کار رفت. این روش به دو دلیل عمدۀ دارای اهمیت است. یکی اینکه سازگار محیط زیست، ارزان، سریع و ساده بوده درنتیجه از هر نظر مقرر به صرفه است. دلیل مهم دیگر این است که در این فرایند، نانوذرهای یکنواختی با بلورهای مکعبی ساخته شدند که از نظر فعالیت زیستی بسیار با ارزش و منحصر به فرد هستند.

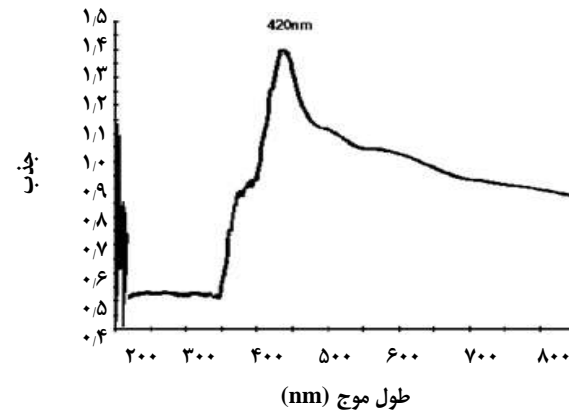
کاهش نقره

ترکیب‌های موجود در عصاره برگ درخت زالزالک سیاه موجب کاهش یون‌های نقره و تبدیل به نانوذرهای نقره می‌شوند که این امر با تغییر رنگ محلول به قهوه‌ای تیره قابل دیدن است (شکل ۱). تشکیل نانوذرهای نقره با استفاده از آنالیز طیف مرئی . فرابنفش نیز به اثبات می‌رسد. به تازگی گزارش‌های بسیاری در مورد عامل‌های احیا کننده و پایدارکننده نانوذرهای نقره در منابع علمی منتشر شده است. مشتق‌هایی از ترکیب‌های فلاونوئیدی، پلی فنولیک، گزانتون، آتراتکینون، لاکتون و کومارین به عنوان مواد مؤثر در احیای نانوذرهای فلزی نقش کلیدی دارند که در مورد نانونقره، آن‌ها با انتقال الکترون به یون‌های Ag^+ موجب تشکیل نانوذرهای نقره می‌شوند [۲۲-۲۴].

بررسی نتیجه‌های SEM

ریخت شناختی سطح نمونه نانونقره به دست آمده با استفاده از تصویرهای میکروسکوپ الکترونی دوبشی^(۱) (SEM) مورد بررسی قرار گرفت (شکل ۴).

با توجه به تصاویر فوق، ملاحظه می‌شود که نانوذره‌های نقره به صورت نانوبلورک‌های مکعبی با اندازه قطریکنواخت حدود ۲۰۰ نانومتر توزیع شده‌اند. این شکل نشان می‌دهد که برعی از ذره‌های نانونقره توسط لایه‌های ثانویه پوشانده شده‌اند که این لایه‌ها مربوط به همان ترکیب‌های اولیه موجود در عصاره است که پس از واکنش، می‌تواند به عنوان بستر مناسب، بخشی از سطح نانوذره‌های نقره را پوشاند.



شکل ۲- پیک جذبی UV/Vis نانوذره‌های نقره به دست آمده از فرایند نانوفیتوستنر با عصاره زالزالک سیاه.

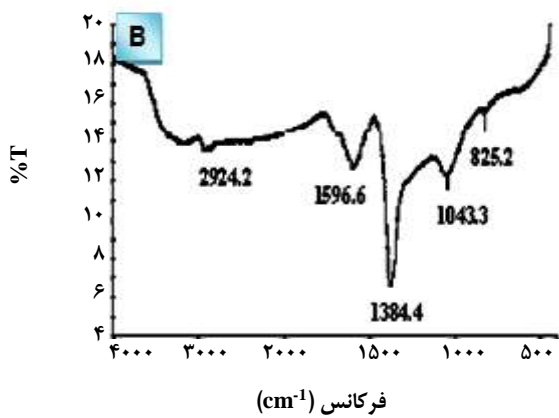
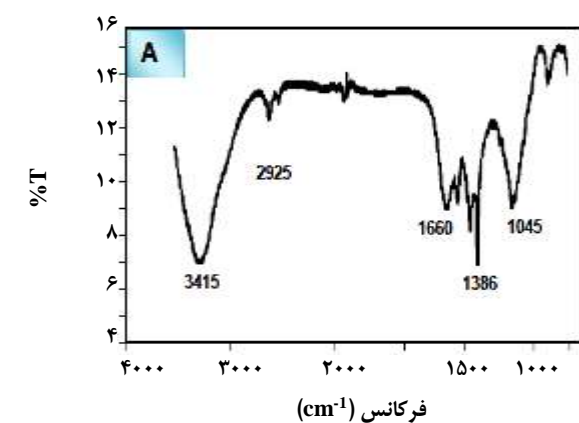
بررسی نتیجه‌های XRD و TEM

به منظور بررسی ساختار نانوذره‌های نقره تهیه شده در شرایط بهینه آزمایش و کسب اطلاعات مفید دیگر در رابطه با ویژگی‌های آن‌ها، از میکروسکوپ الکترونی عبوری^(۲) (TEM) استفاده شد. تصویرهای به دست آمده از این فناوری، در تعیین شکل و اندازه نانوذره‌های نقره به کار رفت. در شکل ۵ نانوذره‌های نقره تولید شده در این پژوهش دیده می‌شود.

همان‌گونه که در تصویر دیده می‌شود و نمودار هیستوگرام استخراج شده از TEM نشان می‌دهد، که ذره‌های نقره در مقیاس نانو بوده که تخمین زده می‌شود بیش از ۸۰ درصد ذره‌ها به طور یکنواخت توزیع شده و همچنین دارای شکل‌های بلوری مکعبی در اندازه‌های ۱۵ تا ۳۵ نانومتر و اندازه متوسط آن‌ها حدود ۲۵ نانومتر می‌باشد (شکل ۵). همچنین تصویر TEM نشان می‌دهد که میان برعی از ذره‌ها مقداری درهم آمیختگی دیده می‌شود که ممکن است دو دلیل داشته باشد. دلیل اول اینکه درصد پائینی از ترکیب موجود در عصاره مورد استفاده قرار گرفته است و دلیل دوم این که تشکیل دانه‌های دوقلو در مرحله هسته سازی سنتز نانوذره‌ها اتفاق افتاده است.

بررسی تصویر پراش پرو ایکس^(۳) (XRD)

الگوی پراش اشعه X برای یافتن اندازه‌های دقیق و ساختار بلوری نانوذره‌ها به کار می‌رود. تصویر به دست آمده از نانوذره‌های نقره در شکل ۶ نشان داده شده است. همان‌گونه که در این شکل ملاحظه می‌شود، تعداد ۵ پیک با شدت‌های متفاوت

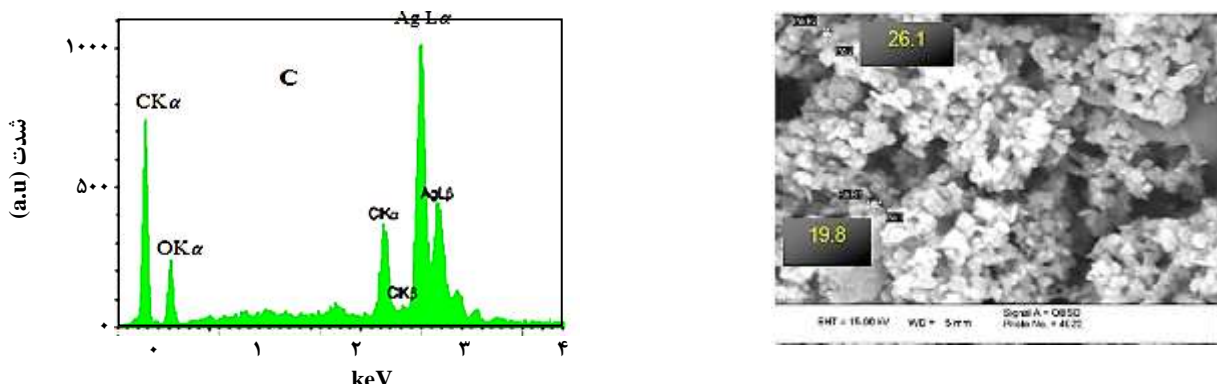


شکل ۳- طیف FT-IR به دست آمده از عصاره برگ درخت زالزالک سیاه (A: پیش از واکنش و B: پس از واکنش با Ag^+).

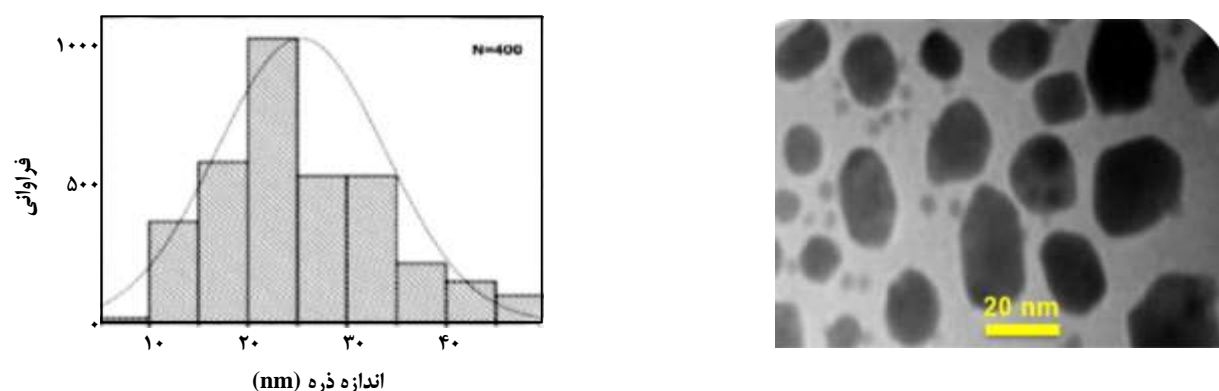
(۱) Scanning Electron Microscope

(۳) X-ray Diffraction

(۲) Transmission Electron Microscopy



شکل ۴- تصویر SEM (راست) و EDX (چپ) مربوط به نانوبلور مکعبی نقره.



شکل ۵- نتیجه‌های میکروسکوپ الکترونی عبوری (TEM) و تصویر نانوبلورک‌های نقره (راست) و هیستوگرام توزیع اندازه نانوذرات نقره (چپ).

با استفاده از رابطه دبای - شرر (Debye-Scherrer) و پهنهای پیک در نصف ارتفاع پیک^(۲) (FWHM)، اندازه ذره‌های نانو نقره محاسبه شد و اندازه تقریبی آن‌ها بدست آمد. برای افزایش در دقت معادله دبای - شرر، محاسبه روی چند پیک بدست آمده در طیف XRD اعمال شد تا میانگینی از اندازه ذره‌ها بهطور دقیق‌تر بدست آید.

$$D(\text{nm}) = k \cdot \lambda / \beta \cdot \cos \theta \quad \text{معادله دبای - شرر:}$$

در این معادله D اندازه نانوذره‌ها بر حسب نانومتر، K عدد ثابت برابر 0.9 ؛ λ طول موج پراش پرتو X و برابر با 0.154 نانومتر (برابر با $1/54$ آنگستروم)، β پهنهای پیک در نصف ارتفاع بر حسب رادیان و θ زاویه پراش بر حسب درجه می‌باشد. با توجه به اطلاعات بالا و محاسبه‌های انجام شده در زاویه پراش 38° و پهنهای حدود نیم درجه، اندازه نانوذره‌های نقره

در مقیاس 2θ به ترتیب برابر $94,38, 98,28, 64,52, 61,27$ درجه برای نقره تأیید می‌شود (۲۷). پنج پیک پراش دیده شده بالاتر از 37 درجه در طیف XRD نمونه به ترتیب به بازتاب‌های (111) ، (200) ، (220) ، (311) نقره مربوط می‌شوند، که شکل گیری فلز نقره با ساختار مکعب با وجود مرکز پر^(۱) (fCC) با پارامتر شبکه 4.08 Å آنگستروم را نشان می‌دهد. از مقایسه شدت پیک‌ها در می‌یابیم که پیک (111) از پیک‌های دیگر شدیدتر است، درنتیجه صفحه‌های بلورک‌های تشکیل شده در جهت (111) زیادتر بوده و از اینرو سمت گیری ترجیحی صفحه‌های (111) عمود بر سطح می‌باشد. الگوی پراش در شکل ۶ همچنین نشان می‌دهد که پودر نانو نقره به دست آمده از کاهش یون‌های نقره توسط عصاره برگ درخت زالزالک سیاه از خلوص بالایی برخوردار است. این نکته حاکی از شرایط بهینه عملیات تبدیل یون‌های Ag^+ به نانوذره‌های Ag^0 می‌باشد.

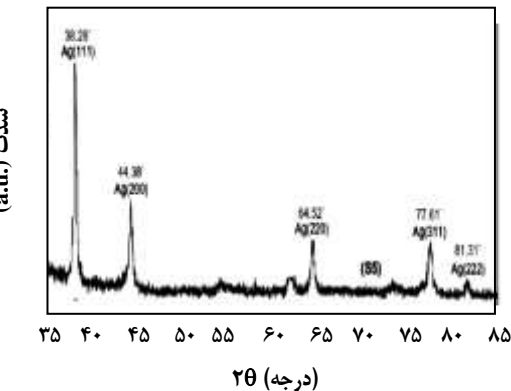
(۱) Face Centered Cubic

(۲) Full Width Half Maximum

نبود رشد ۱۱ میلی‌متر، در برابر نانونقره ۱۴ میلی‌متر و در برابر آنتی‌بیوتیک تتراسایکلین ۱۸ میلی‌متر ایجاد می‌کند. در حالی که مخلوط نانونقره با آنتی‌بیوتیک در برابر همان باکتری، به رقم ۲۱ میلی‌متر افزایش یافته است که ۳ واحد نسبت به آنتی‌بیوتیک و ۷ واحد نسبت به نانونقره تقویت شده است. حساسیت اشیائی کولای در برابر نانونقره بیشتر از آنتی‌بیوتیک (به ترتیب ۱۶ و ۱۴ میلی‌متر) بوده و نشان می‌دهد که این باکتری گرم منفی در برابر مخلوط نانونقره و آنتی‌بیوتیک به میزان ۵ واحد حساس‌تر شده است. درنتیجه تقویت قدرت آنتی‌بیوتیک تتراسایکلین توسط نانونقره می‌تواند یکی از موارد کاربردهای نوین و مهم نانونقره برای این منظور باشد.

در سال‌های اخیر، اثر نانونقره تولید شده با عصاره گونه‌ای قارچ کربنوفونکتریا^(۱) با ابعاد ۳۰–۷۰ نانومتر، به تنها یک و در مخلوط با استرپتومایسین بر روی تعدادی باکتری مطالعه شده و اثر تقویتی نانوذرهای نقره بر آنتی‌بیوتیک فوق نشان داده شده است (۲۸). با توجه به این نکته که یکی از عامل‌های مؤثر در فعالیت زیستی نانوذرهای، اندازه و شکل آن‌هاست، درنتیجه می‌توان گفت که در مقایسه نتیجه‌های کار ما با داده‌های مذکور، اثر هم افزایی بیش‌تری در داده‌های ما با دیده می‌شود. زیرا بیش از ۸۰ درصد نانوذرهای تولید شده توسط عصاره برگ زالزالک سیاه، بلورهای مکعبی با متوسط اندازه ۲۰ نانومتر هستند. مطالعه‌ها نشان می‌دهند که اندرکنش‌های زیادی بین نانوذرهای و بیومولکول‌های میکروارگانیسم‌ها به وجود می‌آید. وجود اختلاف بار و قطبیت‌های متفاوت میان نانوذرهای و بیومولکول‌ها سبب اتصال آن‌ها به یکدیگر و به دنبال آن شروع فعالیت نانوذره در سطح سلول شده و موجب نابودی آن می‌شود.

ایجاد اکسایش در بیومولکول‌های سطح میکروارگانیسم‌ها نیز اتفاق افتاده و سبب نابودی آن‌ها می‌شود. همچنین نانوذرهای نقره سبب می‌شود که اتصال سلول باکتری و تشکیل فیلم زیستی به کندی انجام گیرد و مانع از تثبیت و تکثیر باکتریها شود. این ترکیب‌ها باعث می‌شوند که اجزای جلوگیری کننده موجود در غشاء خارجی باکتری که باعث آزادشدن تصاعدی مولکول‌هایی نظیر لبیو پلی ساکاریدها و پورین‌ها از غشای سیتو پلاسمی می‌شود، از هم گستته شوند (۲۹). پژوهش‌های دیگر نشان می‌دهند که تغییرهای به وجود آمده در ساختار پوسته و دیواره سلول‌های باکتری در واکنش با نانوذرهای نقره، درنتیجه اندرکنش و



شکل ۶ - طیف پراش پرتو X (XRD) نانو ذره‌های نقره سنتز شده با عصاره برگ زالزالک سیاه.

در حدود ۲۰ نانومتر تعیین شد. این اندازه با مقدار دیده شده در SEM و TEM به طور کامل مطابقت دارد.

نتیجه‌های بررسی خاصیت ضدباکتریایی نانو بلورهای مکعبی نقره
پس از سپری شدن مدت ۲۴ ساعت از نگهداری نمونه‌ها در انکوباتور، تغییرها رخ داده در هریک از نمونه‌ها ثبت شد. فعالیت ضد باکتریایی نانوذرهای نقره تهیه شده در مقایسه با تتراسایکلین با روش انتشار دیسک، اندازه گیری قطر هاله نبود رشد اطراف دیسک‌های ۶ میلی‌متری در محیط آگار مولر-هینتون مورد ارزیابی قرار گرفت (جدول ۱). نتیجه‌ها در جدول ۱ نشان می‌دهد که مخلوط ۵۰:۵۰ نانوذرهای نقره با تتراسایکلین، دارای اثر بازدارنده‌گی بیش‌تری نسبت به نانوذرهای نقره خالص و نمونه شاهد (تتراسایکلین خالص) در برابر رشد باکتری‌های مورد آزمایش می‌باشند.

نتیجه‌های بدست آمده از فعالیت ضد باکتری مخلوط ۵۰:۵۰ نانوذره و آنتی‌بیوتیک تتراسایکلین در برابر سویله‌های مورد بررسی، مبین یک نوع اثر سینرژیست مثبت می‌باشد. بدین معنا که نانوذره و آنتی‌بیوتیک تتراسایکلین در کنار هم، اثر هم افزایی و تقویتی در برابر هر چهار مورد باکتری از خود بروز می‌دهند. باکتری اشیائی کولای در برابر عصاره خالص، حساسیت خاصی نشان نمی‌دهد. درحالی که در برابر مخلوط آزمایشی، مقاومت نشان نمی‌دهد و قطر هاله عدم رشد آن به نسبت زیاد است (۱۹ میلی‌متر). همان‌گونه که نتیجه‌های آزمایش در جدول ۱ نشان می‌دهد عصاره خالص در برابر استافیلوکوکوس آنروس قطر هاله

(۱) Cryphonectria

جدول ۱۰ مقایسه فعالیت خداباکتریایی نانوذرهای نقره تهیه شده با تتراسایکلین و مخلوط آن با تتراسایکلین.

قطر هاله عدم رشد باکتری (mm)					
نانونقره و تتراسایکلین	تتراسایکلین (شاهد)	نانو ذرات نقره	عصاره خالص	باکتریهای بررسی شده	ردیف
۲۱	۱۸	۱۴	۱۱	/ استافیلوکوکوس آگروس (ATCC ۲۵۹۲۳)	۱
۱۷	۱۶	۱۳	۱۲	/ باسیلوس ساتیلیس (ATCC ۹۳۷۲)	۲
۲۳	۲۲	۱۹	۱۶	/ استافیلوکوکوس اپیدرمیدیس (ATCC ۱۲۲۲۸)	۳
۱۹	۱۴	۱۶	-	/ اشريشیا کولای (ATCC ۲۵۹۲۲)	۴

نانونقره به دست آمده، با TEM SEM FT-IR UV/Vis و XRD مورد بررسی قرار گرفت. همچنین با هدف دستیابی به نانوذرهایی با فعالیت زیستی مناسب و تقویت کننده اثر آنتی بیوتیکی تتراسایکلین را داشته باشد، ارزیابی شد. نتیجه‌ها نشان داد که نانوذرهای نقره تهیه شده با این روش، بسیار ایمن و به صرفه بوده و کنترل اندازه آن‌ها در اندازه‌های کوچک‌تر و بهخصوص کنترل شکل نانوذرهای بسیار دقیق و کم هزینه‌تر از سایر روش‌ها می‌باشد. نانوذرهای نقره تولید شده، دارای بلورک‌های مکعبی شکل بودند و با توجه به مکانیسم اثر آن‌ها بر میکرووارگانیسم‌ها که ذکر شده، هنگام بکار بردن با آنتی بیوتیک تتراسایکلین موجب تقویت قدرت ضد میکروبی آن می‌شود. این هم افزایی میان سایر نانوذرهای با آنتی بیوتیک‌های گوناگون نیز قابل ارزیابی است.

نفوذ نانونقره از پوسته و انباستگی در درون آن است که موجب نابودی باکتری می‌شود (۳۰). بنابراین می‌توان گفت که نانوبلورهایی که دارای ساختار بلوری مکعبی هستند برخلاف شکل کروی، دارای اصلاح و گوشش‌هایی با لبه‌های تیز و بردنه می‌باشند که همین موضوع کارآیی آن‌ها را افزایش می‌دهد. درنتیجه استفاده از روش سنتز زیستی با استفاده از عصاره گیاهان، برای دستیابی به نانوذرهای نقره با چنین شکل و ابعادی، از هر نظر با ارزش است. با توجه به نتیجه‌های داده شده در جدول ۱ نانوبلورهای نقره ساخته شده با استفاده از عصاره برگ زالزالک سیاه، به دلیل داشتن ویژگی‌های یگانه از جمله اندازه کوچک و شکل مکعبی دارای فعالیت زیستی مناسبی بوده و اثر آنتی بیوتیکی تتراسایکلین را نیز تقویت می‌نماید.

نتیجه گیری

در این پژوهش، نانوذرهای نقره با استفاده از روش نانوفیتوسنتز توسط عصاره برگ زالزالک سیاه، سنتزو ویژگی‌های

مراجع

- [1] McNeil S.E., Leukoc J., **Nanotechnology for the Biologist**, *J. Leukocyte Biology*, **78**: 585-594 (2005).
- [2] Kumar A., Jakhmola A., **RNA-Mediated Fluorescent Q-Pb Nanoparticles**, *Langmuir*, **23**: 2915-2918 (2007).
- [3] Aslan K., Geddes C.D., **Metal-Enhanced Fluorescence: An Emerging Tool in Biotechnology**, *Curr. Opin. Biotechnol.*, **16**: 55-62 (2005).

- [4] Sosa I.O., Noguez C., Barrera R.G., *Optical Properties of Metal Nanoparticles with Arbitrary Shapes*, *J. Phys. Chem.*, **107**:6269-6275 (2003).
- [5] Sun Y. G., Mayers B., Herricks T., Xia Y. N., *Polyol Synthesis Of Uniform Silver Nanowires: a Plausible Growth Mechanism and the Supporting Evidence*, *J.Nano Lett.*, **3**: 955-960 (2003).
- [۶] پایه قدر، محمود؛ ذللقاری، امیر حسین؛ بررسی اثرهای نانوذره های تیتانیم دی اکسید بر مقدار حفاظت در برابر پرتوهای فرابنفش در کرم‌های ضدآفتاب، نشریه شیمی و مهندسی شیمی ایران، **(۳۵)۱**: ۱۱۱ تا ۱۲۴ (۱۳۹۵).
- [۷] کوکبی، یونس؛ امانی، حسین؛ کریمی نژاد، حسن؛ بررسی خاصیت ضد باکتریایی نانوذره های نقره در پلی استایرن‌های انساطی دیرسوز و استاندارد، نشریه شیمی و مهندسی شیمی ایران، **(۴)۳۵**: ۱۶۱ تا ۱۷۴ (۱۳۹۵).
- [8] Te-Hsing W., Yi-Der T., Lie-Hang S., *The Novel Methods For Preparing Antibacterial Fabric Composites Containing Nanomaterial*, *J. Solid State Phenom.*, **124**: 1241-1244 (2007)
- [9] Hardman R. A., *Toxicological Review of Quantum Dots: Toxicity Depends on Physic-Chemical and Environmental Factors*, *Environ. Health. Perspect.*, **114**: 165-172 (2005).
- [10] Dreher K. L., *Health and Environmental Impact of Nanotechnology: Toxicology Calassessment of Manufactured Nanoparticles*, *Toxicol. Sci.*, **77**: 3-5 (2004).
- [11] Navaladian S., Viswanathan B., Viswanath R.P., Varadarajan T.K., *Thermal Decomposition as Route for Silver Nanoparticles*, *Nanoscale Res. Lett.*, **2**: 44- 48 (2007).
- [12] Chandran S.P., Chaudhary M., Pasricha R., Ahmad A., Sastry M., *Synthesis of Gold Nanotriangles and Silver Nanoparticles Using Aloe Vera Plant Extract*, *Biotechnol. Prog.*, **22**: 577-583 (2006).
- [13] Chamakura K., Perez-Ballester R., Luo Z.P., Bashir S., Liu J., *Comparison of Bactericidal Activities of Silver Nanoparticles with Common Chemical Disinfectants*, *Colloids Surf. B Biointerfaces*, **84**: 88–96 (2011).
- [14] Medina-Ramirez I., Luo Z.P., Bashir S., Mernaugh R., Liu J.L., *Facile Design and Nanostructural Evaluation of Silver-Modified Titania Used as Disinfectant*, *Dalton Trans.*, **40**: 1047–1054 (2011).
- [15] Magana S.M., Quintana P., Aguilar D.H., Toledo J.A., Angeles-Chavez C., Cortes M.A., Leon L., Freile-Pelegrin Y., Lopez T., Torres Sanchez R.M., *Antibacterial Activity of Montmorillonites Modified with Silver*, *J. Mol. Catal. A Chem.*, **281**: 192-199 (2008).
- [16] Nithya R., Ragunathan R., *Synthesis of Silver Nanoparticle Using Pleurotus Sajor Caju and Its Antimicrobial Study*, *Dig. J. Nanomater. Biostruct.*, **4**: 623–629 (2009).
- [17] Lara H.H., Nunez N.V.A., Turrent L.I., Rodriguez-Padilla C., *Mode of Antiviral Action of Silver Nanoparticles Against HIV-1*, *J. Nanobiotechnology.*, **8**: 1-10 (2010).

- [18] Barati B., Saadati M., Bahmani M.Kh., Isolation and Detection of Enterotoxigenic *Staphylococcus Aureus* Type A By Multiplex PCR, *Mil. Med. J.*, **8**: 119-128 (2006).
- [19] Fortner J.D., Lyon D.Y., Sayes C.M., Boyd A.M., Falkner J.C., Hotze E.M., Nanocrystal Formation and Microbial Response, *Environ. Sci. Technol.*, **39**: 4307-4316 (2005).
- [20] Jones G.L., Muller C.T., O'Reilly M., Stickler D.J., Effect of Triclosan on the Development of Bacterial Biofilms by Urinary Tract Pathogens on Urinary Catheters, *J. Antimicrob. Chemother.*, **57**: 266-272 (2006).
- [21] Amanda S., Mohammad F., John J., Schlager D., Syed A., Metal-Based Nanoparticles and Their Toxicity Assessment, *J. Nanomed. Nanobiotechnol.*, **2**: 544-568 (2010).
- [22] Akhavan M., Shafaghat A., Salimi F., Novel Acetylated Chalcone and Biflavanoid Glycosides from *Trigonosciadium Brachytaenium* (Boiss.) Alava., *Nat. Prod. Res.*, **27**: 2111-17 (2013).
- [23] Akhavan M., Jahangiri S., Shafaghat A., Studies on The Antioxidant and Antimicrobial Activity and Flavonoid Derivatives from the Fruit of *Trigonosciadium brachytaenium* (Boiss.) Alava, *Indust. crops prod.*, **63**: 114-18 (2015).
- [24] Kasthuri J., Veerapandian S., Rajendiran N., Biological Synthesis of Silver and Gold Nanoparticles Using Apiin as Reducing Agent, *Colloids Surf. B Biointerfaces*, **68**: 55–60 (2009).
- [25] Zargar M., Abdul Hamid A., Abu Bakar F., Nor Shamsudin M., Shameli K., Jahanshiri F., Farahani F., Green Synthesis and Antibacterial Effect of Silver Nanoparticles Using *Vitex negundo* L., *Molecules*, **16**: 6667-6676 (2011).
- [26] Schussler M., HolzlJ., FrickeU., Myocardial Effects of Flavonoids from *Crataegus* Species, *Arzneimittelforschung*, **45**: 842-845 (1995).
- [27] Shameli K., Bin Ahmad M., Zargar M., Wan Yunus W.M.Z., Rustaiyan A., Ibrahim N.A., Synthesis of Silver Nanoparticles In Montmorillonite and Their Antibacterial Behavior, *Int. J. Nanomed.*, **6**: 581-590 (2011).
- [28] Dar M.A., Ingle A., Rai M., Enhanced Antimicrobial Activity of Silver Nanoparticles Synthesized by *Cryphonectria* Sp. Evaluated Singly and in Combination with Antibiotics, *Nanomedicine: Nanotech. Bio. Med.*, **9**: 105–110 (2013).
- [29] Martel S., Method and System for Controlling Micro-Objects or Micro-Particle, *United States Patent, USP 20100215785*, Appl. 11/145,007(2005).
- [30] Dibrov P., Dzioba J., Gosink K.K., Hase C.C., Chemiosmotic Mechanism of Antimicrobial Activity of Ag⁺ in *Vibrio Cholerae*, *Antimicrob. Agents. Chemother.*, **46**: 2668–2670 (2002).